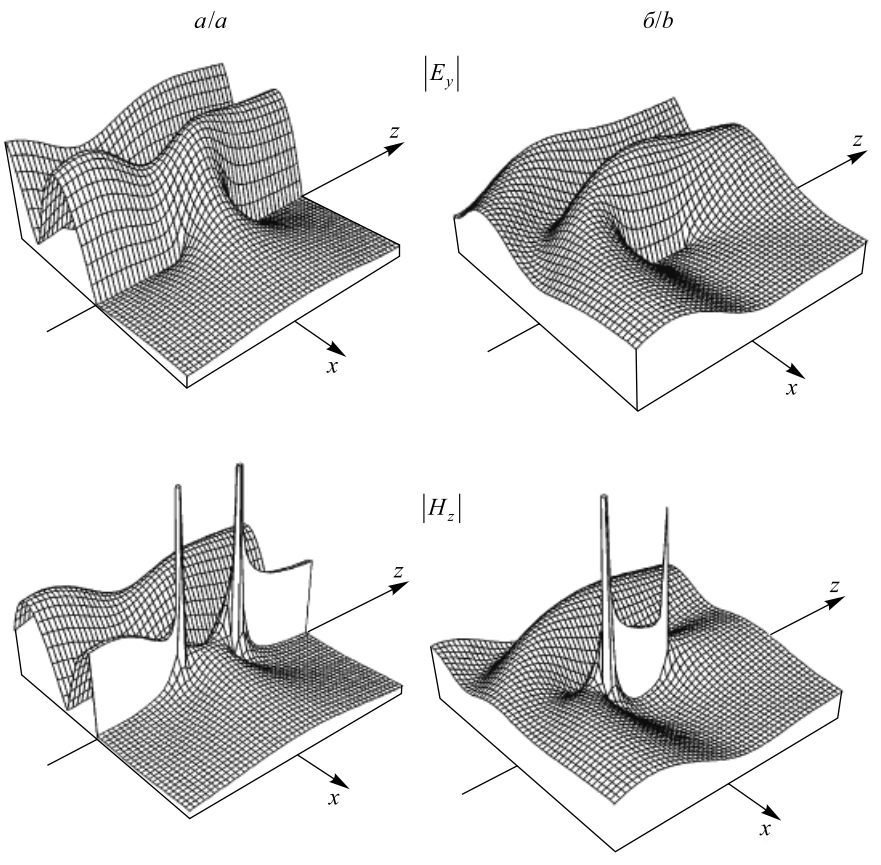


Рис. 5. Пространственное распределение величины компонент электрического и магнитного полей при дифракции *H*-поляризованной плоской волны на щели (*а*) и на полосе (*б*) при $kl = 1{,}2$ и $\vartheta = 30°$

Fig. 5. Spatial distribution of the values of the electric and magnetic field components when the *H*-polarized plane wave diffracts on a slot (*a*) and on a strip (*b*) at $kl = 1.2$ and $\vartheta = 30°$